

ДВУМЕРНАЯ МОДЕЛЬ КОНКУРЕНТНЫХ ВЗАИМОДЕЙСТВИЙ В ЭКОНОМИКЕ: ТЕОРИЯ И ЧИСЛЕННЫЕ ЭКСПЕРИМЕНТЫ

Описывается известная двумерная модель конкурентных взаимодействий в популяционной экологии, которая интерпретирована в рамках конкурентных взаимодействий двух экономических объектов. Проделан качественный анализ всех особых точек динамической системы второго порядка, приводятся результаты численных экспериментов.

Запишем двумерную модель конкурентных взаимодействий в обозначениях работы [1].

$$\frac{dX_1}{dt} = (a - bX_1 - \delta X_2)X_1, \quad \frac{dX_2}{dt} = (c - \gamma X_1 - dX_2)X_2. \quad (1)$$

Данная система обыкновенных дифференциальных уравнений второго порядка описывала конкурентное взаимодействие двух экологических популяций, в которой численности этих популяций обозначены как X_1 и X_2 . Другие обозначения системы уравнений (1): a , b , δ , c , γ , d — положительные коэффициенты модели, $t > 0$ — время.

Аналогичная система уравнений использовалась в работе [2] при моделировании конкурентного взаимодействия двух инноваций. На наш взгляд, данная модель может описывать конкурентные взаимодействия для широкого класса экономических объектов: от конкурирующих предприятий, выпускающих сходный товар (X_i — объемы производства), или фирм, продающих этот товар (X_i — объемы продаж), до конкурирующих приграничных регионов (X_i — региональный внутренний продукт) или даже стран (X_i — ВВП).

Система уравнений (1) имеет четыре особые (неподвижные, равновесные) точки 1. $(0, 0)$; 2. $\left(0, \frac{c}{d}\right)$; 3. $\left(\frac{a}{b}, 0\right)$; 4. $\left(\frac{ad - \delta c}{bd - \gamma \delta}, \frac{bc - a\gamma}{bd - \gamma \delta}\right)$. Условия положительности координат четвертой особой точки имеют вид:

- 1) $bd > \gamma \delta$, $ad < \delta c$, $bc < a\gamma$;
- 2) $bd > \gamma \delta$, $ad < \delta c$, $bc < a\gamma$.

Условие 1 рассмотрено в работах [1, 3]. В этом случае четвертая особая точка является неустойчивой седловой точкой. Наши численные эксперименты для этого случая:

$$a = 0.01, \quad b = \frac{0.01}{1500}, \quad \delta = 10^{-5}, \quad c = 0.02; \quad \gamma = 2 \cdot 10^{-5}, \quad d = 2 \cdot 10^{-5}$$

позволили получить следующий фазовый портрет (рис. 1). Как видим, фазовые траектории могут подходить очень близко к седловой точке, а затем резко уходят к одной из устойчивых точек, лежащих на осях координат. Покажем, что эти точки являются устойчивыми узлами. Запишем матрицу линеаризованной системы (матрицу Якоби) в произвольной особой точке (X_1^*, X_2^*) .

$$A = \begin{bmatrix} a - 2bX_1^* - \delta X_2^* & -\delta X_1^* \\ -\gamma X_2^* & c - \gamma X_1^* - 2dX_2^* \end{bmatrix}. \quad (2)$$

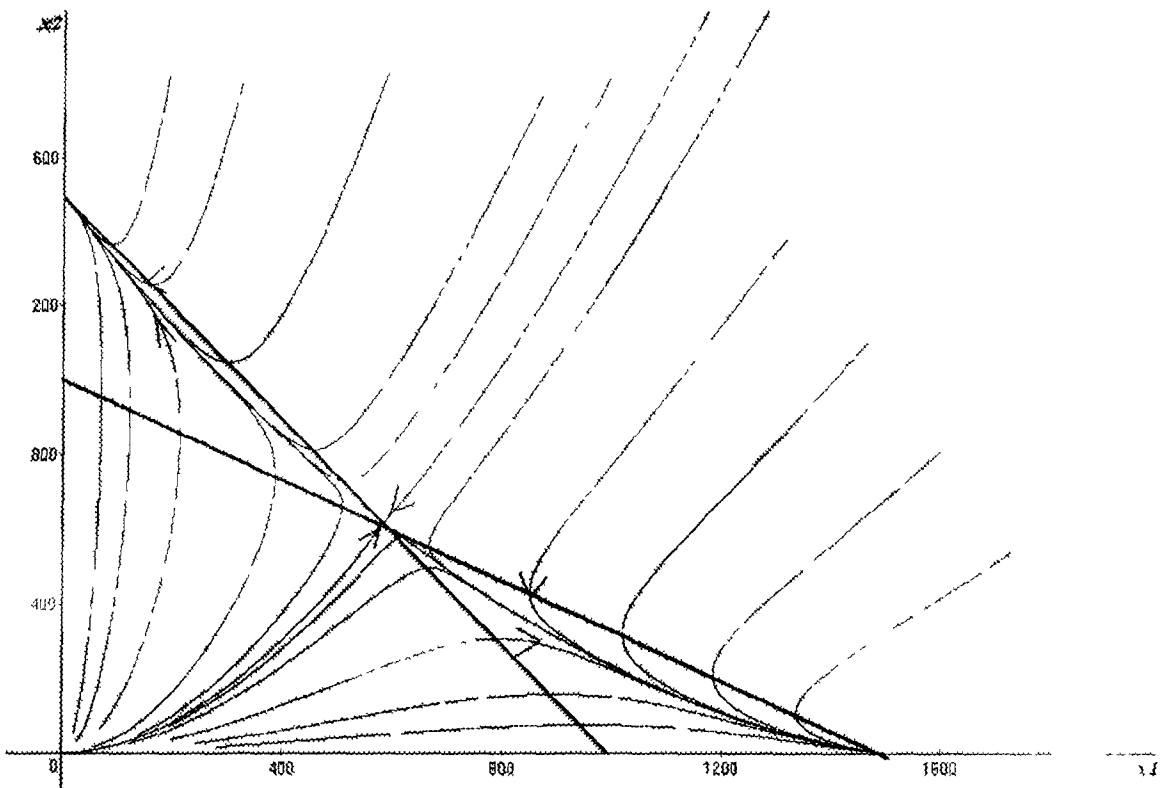


Рис 1. Фазовый портрет динамической системы (1), в случае когда четвертая особая точка является седлом. Тонкие линии – фазовые траектории, жирные прямые линии – изоклины. Обозначения в тексте

Тогда характеристическое уравнение $|A - \lambda I| = 0$, где I – единичная матрица,

для точки $\begin{pmatrix} 0 & \frac{c}{d} \end{pmatrix}$ примет вид $\left(a - \frac{\delta c}{d} - \lambda \right) (-c - \lambda) = 0$, откуда $\lambda_1 = a - \frac{\delta c}{\delta} < 0$,

$\lambda_2 = -c < 0$. Следовательно, эта точка является устойчивым узлом. На рис. 1 она имеет вид $(0, 1500)$.

Аналогично показывается, что третья особая точка $\begin{pmatrix} \frac{a}{b} & 0 \end{pmatrix}$ также является устойчивым узлом (на рис 1 она имеет вид $(1500, 0)$)

Из рис. 1 мы видим, что положительный квадрант разбивается кривой, проходящей через четвертую особую точку, которая является пересечением двух прямых (изоклин), на две области притяжения к двум указанным выше особым точкам. Эта разделяющая кривая называется сепаратрисой. Можно показать, что она является устойчивой, т.е. движения по ней происходят в сторону четвертой особой точки. Отметим, что первая (нулевая) особая точка является неустойчивым узлом, т.е. траектории из нее уходят по экспоненциальному временному закону. Таким образом, для условия 1 происходит подавление одного экономического объекта другим, за исключением очень редких ситуаций, когда фазовые состояния этих объектов находятся на сепаратрисе

Совершенно другая ситуация будет наблюдаться для условия 2. В самом общем случае эта ситуация рассмотрена в работе [3]. Здесь четвертая точка является устойчивым узлом, вторая и третья – седлами, а первая – неустойчивым узлом, как и для предыдущего условия.

Фазовый портрет в этом случае показан на рис. 2. Он был построен в результате численного решения системы уравнений (1) при следующих значениях коэффициентов:

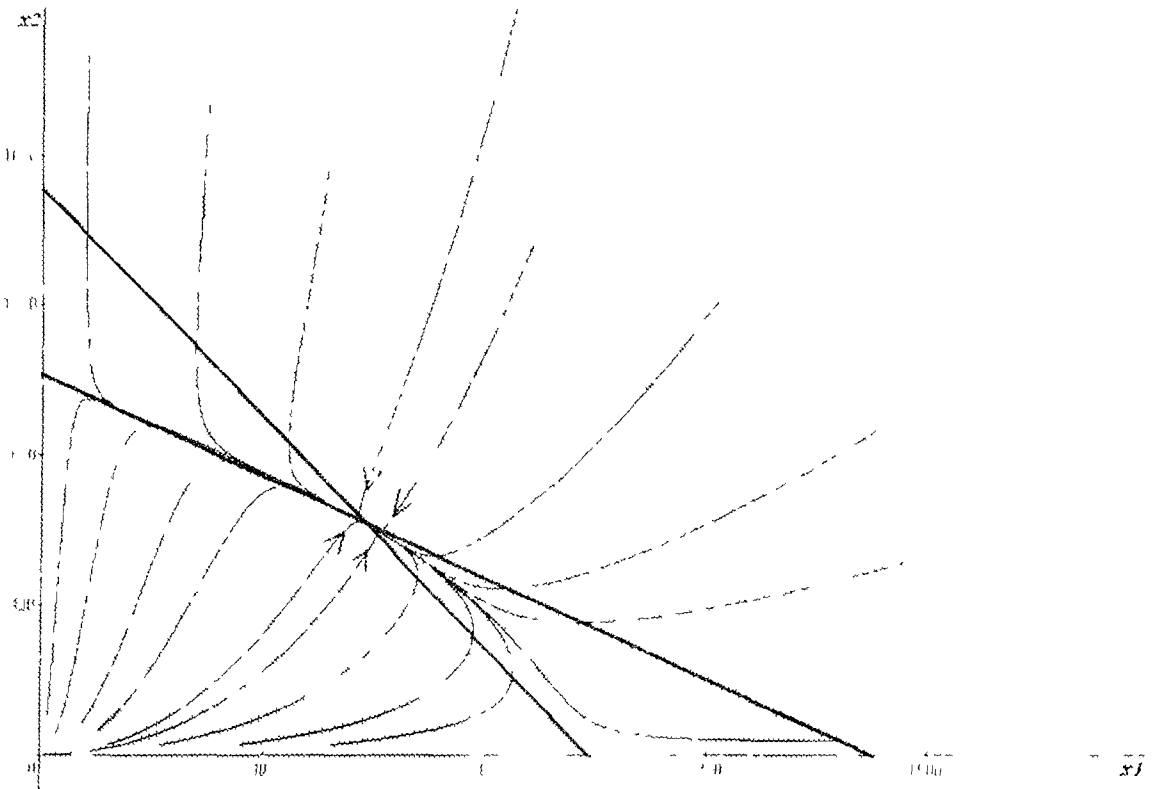


Рис. 2 Фазовый портрет динамической системы (1) в случае, когда четвертая особая точка является устойчивым узлом

$$a = 0.01, \quad b = 10^{-5}, \quad \delta = \frac{0.01 \cdot 0.67}{1000}, \quad c = 0.02, \quad \gamma = \frac{0.02 \cdot 0.67}{1000}, \quad d = 2 \cdot 10^{-5}$$

Найдем сепаратрисы для седловых точек. Главные направления сепаратрисы в седловой точке находятся из уравнений $A\bar{u}_i = \lambda_i \bar{u}_i$, $i = 1, 2$, $\lambda_1 > \lambda_2$ [1].

Для седла $\left(\frac{a}{b}, 0\right)$ эти уравнения примут вид

$$\begin{pmatrix} -a & -\frac{\delta a}{b} \\ 0 & c - \frac{\gamma a}{b} \end{pmatrix} \begin{pmatrix} u_{11} \\ u_{12} \end{pmatrix} = \lambda_1 \begin{pmatrix} u_{11} \\ u_{12} \end{pmatrix}, \quad (3)$$

$$\begin{pmatrix} -a & -\frac{\delta a}{b} \\ 0 & c - \frac{\gamma a}{b} \end{pmatrix} \begin{pmatrix} u_{21} \\ u_{22} \end{pmatrix} = \lambda_2 \begin{pmatrix} u_{21} \\ u_{22} \end{pmatrix}, \quad (4)$$

где λ_i определяется из характеристического уравнения

$$|A - \lambda I| = 0 \quad \lambda_1 = c - \frac{\gamma a}{b} > 0, \quad \lambda_2 = -a < 0$$

Из этих уравнений следует, что для $\lambda_1 - \bar{u}_1 = (u_{11}, u_{12}) = (0, 0)$ — сепаратриса отсутствует, а для $\lambda_{12} - \bar{u}_2 = (u_{21}, u_{22}) = (1, 0)$. Можно показать, что эта сепаратриса устойчива. Это следует из уравнения $\frac{dX_1}{dt} = (a - bX_1)X_1$ при $X_2 = 0$. Следовательно, ось X_1 является устойчивой сепаратрисой для особой точки $\left(\frac{a}{b}, 0\right)$ и на

этой сепаратрисе данная седловая точка является устойчивым узлом Аналогичная ситуация имеет место для особой точки $\left(0, \frac{c}{d}\right)$ Таким образом, для условия 2 не происходит подавления одного экономического объекта другим при ненулевых начальных состояниях этих объектов

Переход от условия 1 к условию 2 происходит через совпадение изоклинов В этом случае четвертая особая точка вырождается во множество особых точек, лежащих на отрезке прямой первого квадранта Их называют непростыми особыми точками [1] Численные эксперименты для этого случая при

$$a = 0.01, b = 10^{-5}, \delta = 10^{-5}, c = 0.02, \gamma = 2 \cdot 10^{-5}, d = 2 \cdot 10^{-5}$$

показаны на рис 3 Здесь все точки, лежащие на отрезке прямой $X_2 = 1000 - X_1$, расположенному в первом квадранте фазовой плоскости (X_1, X_2) , являются устойчивыми особыми точками Итак, в этом случае существует бесконечное множество устойчивых равновесных состояний

Возможны также случаи отсутствия четвертой особой точки в первом квадранте Расчетная ситуация для такого случая при

$$a = 0.01, b = 10^{-5}, \delta = 2 \cdot 10^{-5}, c = 0.02, \gamma = 10^{-5}, d = 10^{-5}$$

показана на рис 4 Все траектории, расположенные в первом квадранте, стягиваются в точку $(0, 2000)$, которая является устойчивым узлом Здесь второй экономический объект со временем полностью подавляет первый

Случай, когда первый экономический объект со временем полностью подавляется второй, соответствует ситуации, показанной на рис 5 Все траектории, расположенные в первом квадранте, стягиваются в точку $(2000, 0)$, которая является устойчивым узлом Эта расчетная ситуация соответствует следующим параметрам системы уравнений (1)

$$a = 0.01, b = 2 \cdot 10^{-5}, \delta = \frac{0.01 \cdot 1.5}{2000}, c = 0.02, \gamma = 2 \cdot 10^{-5}, d = 2 \cdot 10^{-5}$$

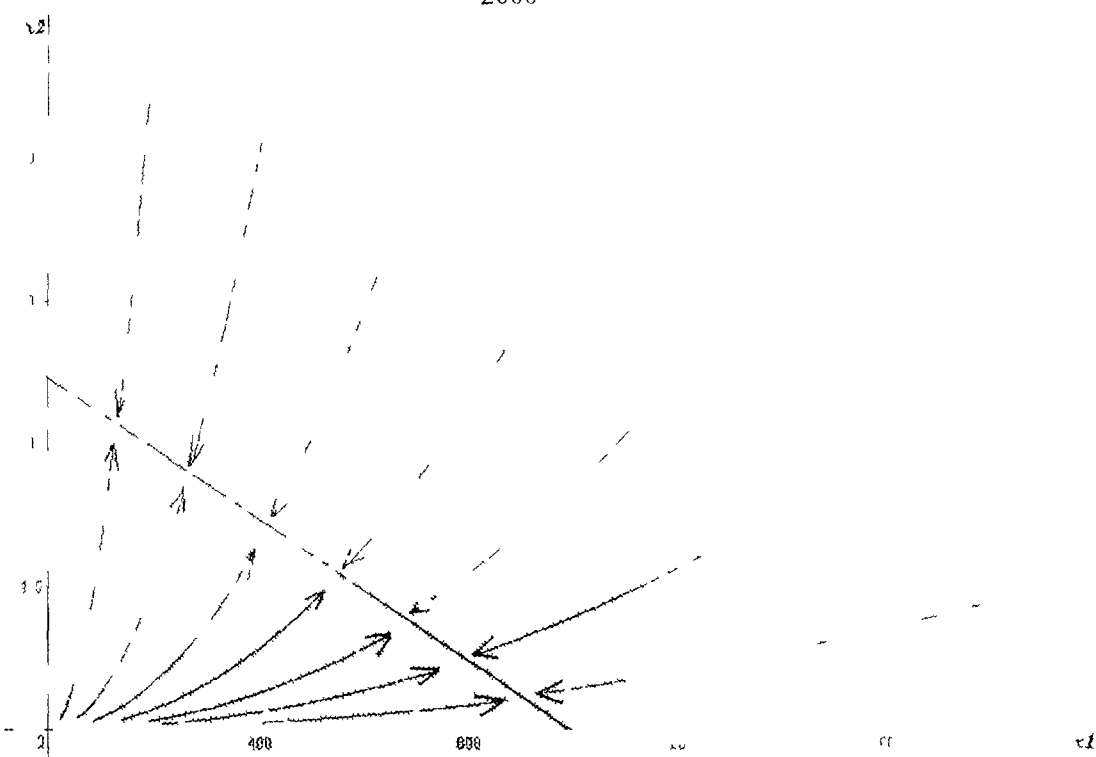


Рис 3 Фазовый портрет динамической системы (1) в случае совпадения двух изоклин

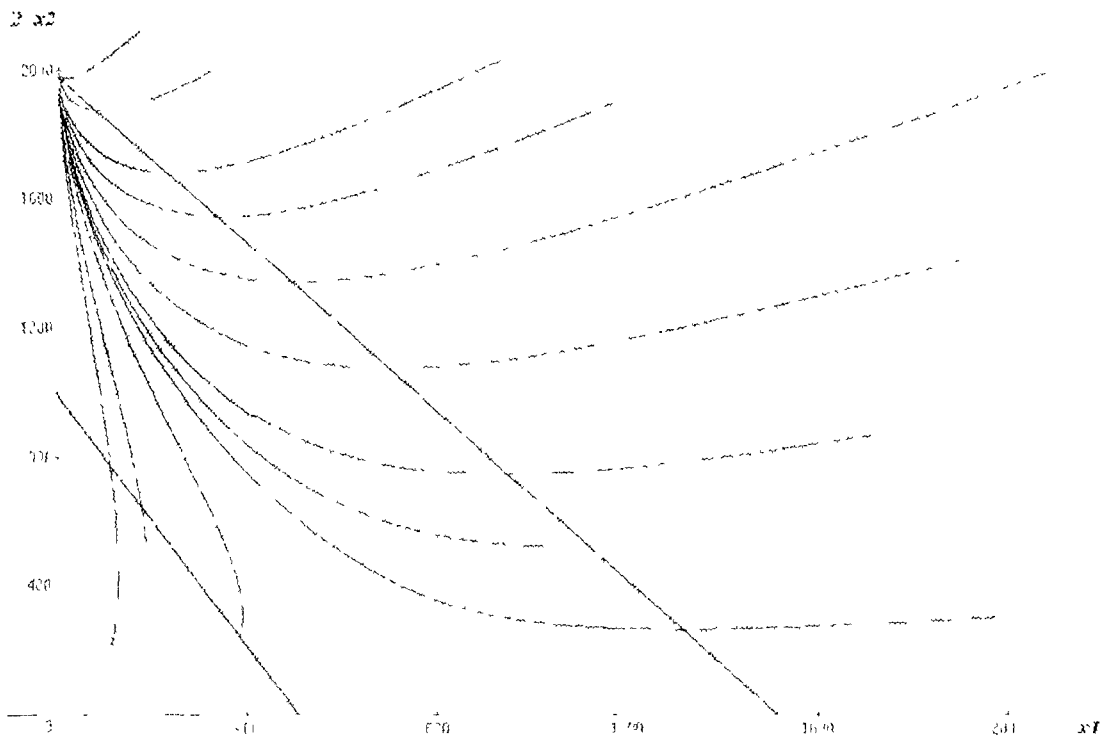


Рис. 4. Фазовый портрет динамической системы (1) в случае отсутствия четвертой особой точки в первом квадранте фазовой плоскости и притяжения к точке $\left(\frac{a}{b}, 0\right)$

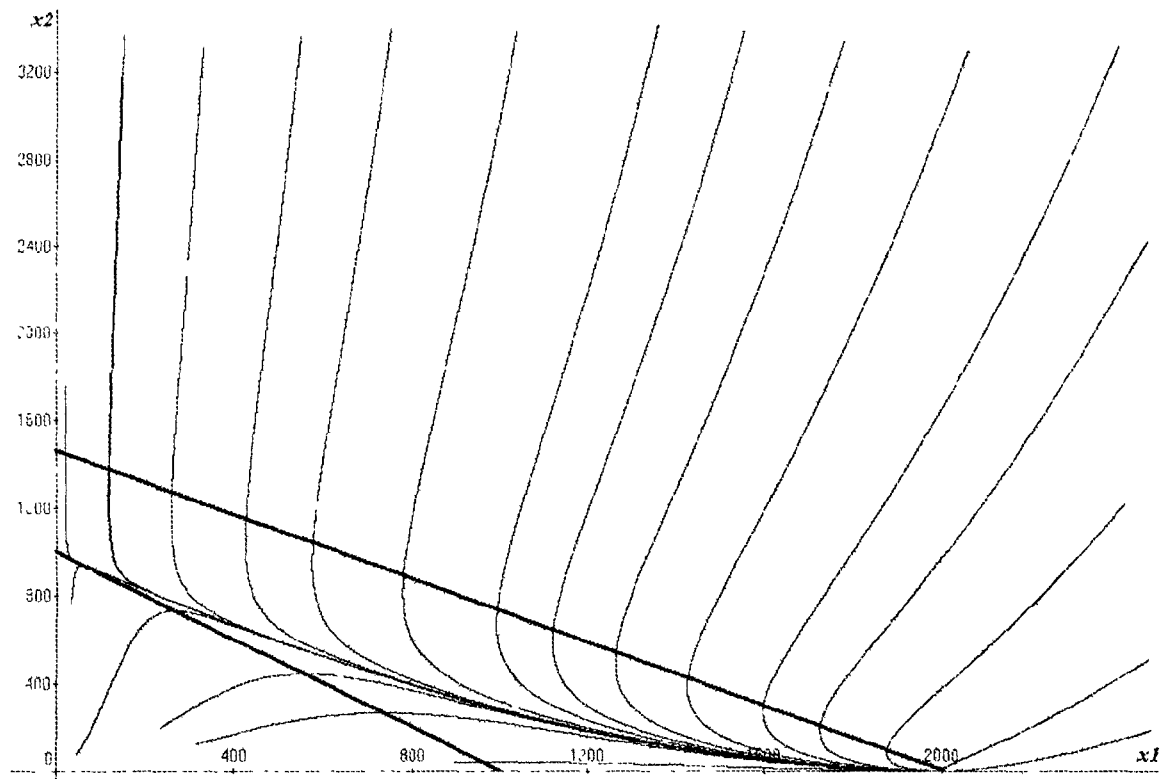


Рис. 5. Фазовый портрет динамической системы (1) в случае отсутствия четвертой особой точки в первом квадранте фазовой плоскости и притяжения к точке $\left(0, \frac{c}{d}\right)$

В заключение отметим, что записать систему обыкновенных дифференциальных уравнений, описывающую конкурентное взаимодействие *n* экономических объектов [2], нетрудно, но теоретический анализ таких систем представляет большие трудности. Примеры такого анализа для трехмерных моделей конкурентных взаимодействий в социологии приведены в работах [4,5].

Список литературы: 1. Эрроусмит Д., Плейс К. Обыкновенные дифференциальные уравнения. Качественная теория с приложениями. Пер. с англ. М.: Мир, 1986. 243 с. 2. Московкин В. М. Основы концепции диффузии инноваций // Бизнес Информ. 1998 №17-18. С. 41-48. 3. Федоров В.Д., Гильманов Т.Г. Экология. М.: Изд-во МГУ, 1980. 464 с. 4. Московкин В. М. Конкурентные взаимодействия в стратифицированном обществе (Математическое моделирование) // Бизнес Информ. 2000. №2. С.36-39. 5. Московкин В. М. Математическое моделирование межэтнических конкурентных взаимодействий // Бизнес Информ. 2000. №4. С. 11-13.

Поступила в редакцию 21.05.01

Журавка Андрей Викторович, аспирант кафедры информатики ХГТУСА, ведущий инженер кафедры страхового, биржевого и банковского дела. Научные интересы: информатика, проблемы защиты информации, математическое моделирование. Увлечения и хобби: компьютерная техника, иностранные языки, туризм. Адрес: Украина, 61002, Харьков, ул. Сумская, 40, 40-29-46.

Московкин Владимир Михайлович, д-р наук, профессор ХНУ им. В.Н. Каразина. Научные интересы: математическое моделирование. Адрес: Украина, 61077, Харьков, пл. Свободы, 4.

Брук Владимир Викторович, канд. техн. наук, старший научный сотрудник УкрНИИЭП. Научные интересы: цифровая обработка изображения. Адрес: Украина, 61077, Харьков, пл. Свободы, 4

УДК 519.95:612.018

С.И. ЛАПТА, С.С. ЛАПТА, Т.В. ЖЕМЧУЖКИНА

ОДНОКОМПАРТМЕНТНАЯ МАТЕМАТИЧЕСКАЯ МОДЕЛЬ ВНУТРИВЕННОГО ТЕСТА ТОЛЕРАНТНОСТИ К ГЛЮКОЗЕ

Предлагается новая оригинальная однокомpartmentная математическая модель внутривенного теста толерантности к глюкозе. Она представляет собой дифференциально-разностное уравнение 1-го порядка относительно концентрации глюкозы в капиллярной крови. Модель эффективно полностью воспроизводит всю кривую теста и является самой минимальной из физиологически адекватных моделей динамики уровня гликемии в крови

Внутривенный тест толерантности к глюкозе (ВТТГ) уже давно применяется в клинической диагностике сахарного диабета при отягощающих нарушениях в абсорбции глюкозы в кровь из желудочно-кишечного тракта пациента [1,2]. При стандартном ВТТГ пациенту вводят внутривенно в течение 1-2 или 2-4 минут глюкозу из расчета 0,33 (0,5) г на 1 кг веса тела в виде 25%, либо 33%, либо 50% раствора. Известно, что при этом уровень глюкозы в крови резко повышается от базального значения, в норме равного в среднем 80 мг% (80 мг глюкозы на 100 мл плазмы крови), до максимального – 250-300 мг% – сразу после проведения инъекции, затем плавно снижается. В норме концентрация глюкозы в крови достигает базального уровня, как правило, на 40-90 минуте, затем совершает характерную гипогликемическую осцилляцию и окончательно возвращается к нему на 180 минуте от начала теста [1] (рис.1, на котором приведена типичная нормальная кривая ВТТГ).

Для здорового человека проведение ВТТГ не имеет клинического смысла, а при явных проявлениях сахарного диабета оно противопоказано. Его целесообразно использовать в целях ранней диагностики сахарного диабета лишь в